



برنامج المسار الوظيفي للعاملين بقطاع مياه الشرب والصرف الصحي

دليل المتدرب

البرنامج التدريبي لمهندس تشغيل صرف صحي-درجة ثالثة

الدراسات الأساسية لخطيط وتصميم شبكات تجميع مياه الصرف الصحي



تم اعداد المادة بواسطة الشركة القابضة لمياه الشرب والصرف الصحي
قطاع تنمية الموارد البشرية - الادارة العامة لخطيط المسار الوظيفي
V1 1-7-2015

جدول المحتويات

٢	التصميم الهيدروليكي لشبكات الانحدار لتجميع مياه الصرف الصحي
٢	أنظمة تخطيط شبكات الانحدار لتجميع مياه الصرف الصحي
٣	التصميم الهيدروليكي لخطوط مواسير شبكات الانحدار لتجميع مياه الصرف الصحي
٣	معادلة التصرف
٣	معادلة الاستمرارية (Continuity Equation)
٤	معادلة الطاقة (Bernoulli's Equation)
٤	فواقد رئيسية (Major Losses)
٤	فواقد ثانوية (Major Losses)
٤	المعادلات الهيدروليكيه التي تستخدم في حساب الفواقد الرئيسية
٥	المعادلات الهيدروليكيه الصحيحة للأبعاد
٧	المعادلات الافتراضية (الصورة العامة)
٨	معادلة هازن ويليامز (Hazen Williams Formula)
٩	معادلة مانج:
١١	تقسم المدينة إلى مناطق صرف
١١	خطوات تصميم قطاعات المواسير لشبكة الانحدار
١٥	اعتبارات التصميم لخطوط مواسير الانحدار
١٥	قطر الماسورة
١٥	معامل الاحتكاك
١٥	السرعة في مواسير الصرف
١٧	القطاعات الطولية لمواسير الانحدار
٢٧	قطاع هيدروليكي لمحطة معالجة صرف صحي
٢٩	قطاع في مطبق صرف صحي
٢٩	أنواع مواسير شبكات تجميع مياه الصرف الصحي
٢٩	مواسير الفخار المزجاج
٣٠	مواسير البلاستيك uP.V.C
٣٠	مواسير الألياف الزجاجية (الفيبر جلاس)
٣٠	المواسير الخرسانية

التصميم الهيدروليكي لشبكات الانحدار لتجميع مياه الصرف الصحي**أنظمة تخطيط شبكات الانحدار لتجميع مياه الصرف الصحي**

ت تكون شبكة التجميع من مواسير تسير فيها المخلفات السائلة بالانحدار الطبيعي فتنصب المواسير الصغرى في مواسير أكبر منها، وهكذا حتى تصب في النهاية في مواسير كبرى تسمى "المجمع الرئيسي" أو خط انحدار الصرف الرئيسي. ويصل هذا الخط الرئيسي إلى محطات الرفع، ومنها تضخ مياه الصرف الصحي في المواسير الصاعدة إلى موقع وحدات المعالجة، حيث يتم التخلص منها بعد المعالجة. وتتبادر طرق التخلص من المياه المعالجة تبعاً للظروف الطبوغرافية للمدينة، وكذلك الموقع المحدد لإنشاء وحدات المعالجة، وأيضاً أماكن الاستفادة أو التخلص من السبب. وبالاستعانة بالخرائط الكنتورية للمخطط العام للمدينة والمناطق المحيطة يمكن تخطيط شبكة تجميع مياه الصرف الصحي. وبشكل عام ينقسم تخطيط شبكات مياه الصرف الصحي إلى أربعة أنظمة كالتالي:

١. التخطيط العمودي.
٢. التخطيط بتقسيم المدينة إلى مناطق صرف.
٣. التخطيط المروحي.
٤. التخطيط الإشعاعي (المحوري).

خطوات تخطيط شبكة الصرف الصحي في منطقة المشروع

يتم تخطيط شبكة تجميع مياه الصرف الصحي في منطقة المشروع طبقاً للخطوات التالية:

١. بعد انتهاء أعمال الرفع المساحي يتم إنتاج مساقط أفقية لمنطقة المشروع بمقاييس رسم ١ : ٥٠٠ أو ١ : ١٠٠٠ موقعاً عليها المناسب المساحية كل ٢٥ متر تقريباً، وموضحاً عليها كل الشوارع والمنشآت والباري والأنفاق والترع والسكك الحديدية والطرق السريعة.
٢. يتم توقيع مسارات مواسير الصرف الصحي على المساقط الأفقية بداية من المناطق ذات المناسب الأعلى وذلك حتى المناطق المنخفضة المنسوب.
٣. تحدد مواقع محطات الضخ المختلفة.
٤. يتم تحديد مسارات خطوط الطرد من موقع محطات الضخ وذلك حتى موقع محطة معالجة مياه الصرف الصحي.
٥. يتم التنسيق مع الجهات الرسمية والجهات المختلفة للحصول على موافقتها على موقع محطات الضخ وموقع محطة المعالجة وأيضاً مسارات خطوط الطرد.
٦. يتم تحديد المجمعات الرئيسية للصرف الصحي وتسميتها.
٧. توقع أماكن المطابق على خطوط الصرف الصحي الصغيرة (Sewer Line) وأيضاً المجمعات الرئيسية.
٨. يتم ترقيم المطابق على كل خط.
٩. يتم تحديد منسوب سطح الأرض عند كل مطبق.

كما يجب الأخذ في الاعتبار عند التخطيط الملاحظات الفنية التالية:

١. يفضل أن تكون المواسير الفرعية عمودية على خطوط الكنتور أي أن تكون مع الانحدار الطبيعي للأرض وذلك نظراً للانحدار الكبير لها، أما الخطوط أو المجمعات الرئيسية فيمكن أن تكون موازية لخطوط الكنتور حيث أن ميلها صغير وذلك لتجنب زيادة مكعبات الحفر والردم.
٢. تجنب اختيار مسار المواسير في الأراضي الصخرية أو ضعيفة التربة أو مرتفعة مناسب مياه الجوفية (مياه الرشح).
٣. تلافي عبور خطوط السكك الحديدية أو الشوارع المزدحمة قدر الإمكان، وكذلك تجنب اختيار موقع محطات الرفع الفرعية بالشوارع الضيقة أو المقام على جوانبها مبني ضعيفة الإنشاء.
٤. الاعتماد على سير المياه بالانحدار الطبيعي في الشبكة.
٥. يجب أن تصل المخلفات السائلة بالشبكات في أقصر وقت إلى موقع محطات الرفع وبالتالي إلى موقع وحدات المعالجة.

التصميم الهيدروليكي لخطوط مواسير شبكات الانحدار لجمع مياه الصرف الصحي

يقصد بالتصميم الهيدروليكي لخطوط مواسير شبكات تجميع المياه الملوثة هو تحديد العلاقة التي تربط بين التصرف والسرعة والمساحة المائية للراسورة والضغط والفاقد في الطاقة والأسباب المؤدية لها. وفيما يلي أهم الأسس والقوانين الهيدروليكيه المستخدمة في هذا التصميم الهيدروليكي :

معادلة التصرف

$$(1) \quad Q = A \times V$$

حيث:

Q: التصرف المطلوب نقله ويعني نقل حجم معين في وحدة الزمن (م³/ث)

V: السرعة المتوسطة للسائل خلال مقطع الماسورة (م/ث)

A: المساحة المائية لمقطع الماسورة = $\frac{\pi D^2}{4}$ عندما تكون الماسورة مملوقة (م²)

D: القطر الداخلي للماسورة (م)

ويتم حساب قيمة التصرف تبعاً لمعدلات استهلاك المياه لاستخدامات المختلفة.

ويتم اختيار القطر الداخلي للماسورة عن طريق المواصفات القياسية لكل نوع من أنواع المواسير والاستعانة ببيانات الشركة المنتجة لها، ويعبر عن قطر الماسورة بالقطر الداخلي لها بالإضافة إلى ذكر القطر الاسمي والقطر الخارجي إذا تطلب الأمر ذلك.

ويتم اختيار السرعات في المواسير في التصميم ففي حالة الأرض المنبسطة يتم التصميم على اقل ميل مسموح به للماسورة بحيث لا يحدث ترسيب اما في حالة الأرض المنحدرة فتصمم الماسورة على ميل يوازي سطح الأرض بحيث لا تزيد السرعة عن ٢٠ م/ث وفي الحالات شديدة الانحدار يجب الا تزيد السرعة عن ٣٠ م/ث ويتم تحقيق ذلك باتباع نظام الهدارات للحصول على ميل مناسبة. وتتراوح قيمة السرعات كالتالي:

- بين ١٠ - ٢٠ م/ث للمواسير الفرعية اقل من ٢٠٠ مم.
- بين ١٠ - ١٥ م/ث لمواسير نقل المياه اكبر من ٢٠٠ مم.
- بين ٦ - ١٥ م/ث لمواسير الانحدار لجمع المياه الملوثة تبعاً لظروف تخطيط الشبكة.
- بين ١٠ - ١٥ م/ث لخطوط الطرد الناقلة لمياه الصرف الصحي بين محطات الرفع او اعمال المعالجة او بين محطات الرفع فيما بينها

معادلة الاستمرارية (Continuity Equation)

نتيجة ان المياه سائل غير قابل للانضغاط فانه عند مرور الماء خلال ماسورة متغيرة القطر او ثابتة فان التصرف خلال أي مقطع من الماسورة ثابت.

حيث:

$$Q = \text{ثابت}$$

$$AV = \text{ثابت}$$

$$(2) \quad A_2 V_2 = A_1 V_1 = \text{ثابت}$$

معادلة الطاقة (Bernoulli's Equation)

عند اي قطاع في ماسورة مياه تحت ضغط فان الطاقة الكلية تتكون من:

أ - طاقة الوضع (Z).

ب - طاقة الضغط (P/W).

ج - طاقة الحركة (V²/2g).

وبالتالي تكون معادلة برنولي في الصورة الآتية:

$$(3) Z + P/W + V^2/2g$$

ولكن نتيجة لحركة المياه بين نقطتين داخل الماسورة فانه يحدث فوائد في الطاقة على طول الماسورة.

وبالتالي تصبح المعادلة في الصورة الآتية :

$$(4) Z_2 + P/W + V_2^2/2g = Z_1 + P/W + V_1^2/2g + \text{الفوائد}$$

وفي حالة ثابت مقطع الماسورة فان $V_1 = V_2$

وبالتالي فان الفقد في الطاقة يكون كما يلي:

$$(5) \text{الفوائد} = [Z_1 + P_1/W] - [Z_2 + P_2/W]$$

والفوائد الناتجة تنقسم إلى:

فوائد رئيسية (Major Losses)

وهي الفوائد الناتجة من احتكاك السائل بالسطح الداخلي للماسورة وهي أكبر في القيمة من أنواع الفوائد الأخرى

فوائد ثانوية (Minor Losses)

وهي الفوائد الناتجة من خط المواسير نتيجة الوصلات، والقطع الخاصة.

المعادلات الهيدروليكية التي تستخدم في حساب الفوائد الرئيسية

تنقسم هذه المعادلات إلى قسمين:

١. المعادلات الصحيحة الابعاد (Dimensionally Correct Formulae)

٢. المعادلات الافتراضية (Empirical Formulae)

المعادلات الهيدروليكيه الصحيحة الأبعاد

وهي معادلات مستندة حسابيا ولها اساس رياضي واخذت في اعتبارها لزوجة السائل و حالته من كونه خطى أو مضطرب واخذت ايضا في الاعتبار خصوبة الجدار الداخلي للumasورة وأشهر هذه المعادلات معادلة كول بروك Cole-Cole و تستخدم هذه المعادلة لاستنتاج معامل الاحتكاك في معادلة دراسي: Brook and white Formula

$$(6) \quad H_f = \frac{fLV^2}{2gD}$$

حيث:

H_f: الفواد (م)

F: معامل دارسي للاحتكاك وليس له وحدات ويعين من الجدول (1)

V: السرعة (م/ث)

D: القطر الداخلي للumasورة (م)

g: عجلة الجاذبية الارضية (م/ث²)

وقد بين كول بروك في معادلته ان f معامل الاحتكاك يتاسب مع كل من لزوجة السائل و سرعته وقطر وخشونة الماسورة. ومعادلة كول بروك تكون في الصورة الآتية:

$$(7) \quad \frac{1}{\sqrt{f}} = -2 \log \left[\frac{K_s}{3.7D} + \frac{2051}{R_n \sqrt{f}} \right]$$

R_n: قيمة وينولد، وهي تعبّر عن حالة سريان السائل هيدروليكيّا من كونه خطى أو مضطرب.عندما يكون $R_n < 2000$ يكون السائل في الحالة الخطيةعندما يكون $2000 < R_n < 4000$ يكون السائل في الحالة الانتقالية من الحالة الخطية الى الحالة المضطربة.عندما يكون $R_n > 4000$ يكون السائل في الحالة المضطربة

وحيث أن:

$$R_n = \frac{VD}{U}$$

$$f = \frac{2gD}{V^2}$$

ومن معادلة دراسي

امكن استنتاج المعادلة كالتالي:

$$(8) \quad V = -2\sqrt{2gD} \log \left[\frac{K_s}{3.7D} + \frac{2051}{D\sqrt{2gD}} \right]$$

حيث:

S: الانحدار الهيدروليكي للumasورة ويعبّر عنه (م/م)

D: القطر الداخلي للumasورة (م)

g: عجلة الجاذبية الارضية (م/ث²)K_s: خشونة الجدار ويعبّر عنه (م)U: معامل الزوجة ويعبّر عنه (م²/ث)

وهي علاقة تربط بين السرعة والقطر والميل الهيدروليكي آخرین في الاعتبار معامل الزوجة.

ومن دراسة كول بروك نستنتج الآتي:

1. يفضل استخدام هذه المعادلة نظر لشموليتها من حيث وصفها السائل والوسط الناقل له (جدار الماسورة).
2. نظراً لصعوبة حل المعادلة حسابياً فيفضل استخدام منحنيات تسهل حل المعادلة ويستخدم الجدول (١) لتعيين قيم (K_s) لأنواع المختلفة من المواسير.
3. ويستخدم الجدول (٢) لتعيين قيم (٢) معامل الزوجة عند درجات الحرارة المختلفة سواء لمياه الشرب أو للمياه الملوثة.

جدول (١) قيم (K_s) خشونة الجدار لمختلف الأنواع من المواسير

قيم (K_s) (مم)						نوع الماسورة
حالة الماسورة قديمة	حالة الماسورة عادية	حالة الماسورة جيدة	حالة الماسورة عادية	حالة الماسورة جيدة	حالة الماسورة جيدة	
	٠,٠٣	٠,٠١٥				١ - اسبستوس اسمنتى
	٠,٠٣	-				٢ - بلاستيك (pvc)
	٠,٠٣	-				مواسير بلاستيك بوصلات ملحومة
	٠,٠٣	-				مواسير بلاستيك بوصلات رأس وذيل بحلقة كاوتش
-	٠,٠٣	٠,٠٠٣				٣- بولستر مسلح بالياف زجاج
-	٠,٠٣	-				٤- خرسانة سابقة الاجهاد
٠,٣	٠,١٥	٠,٠٦				خرسانة عادية
٠,٣	٠,١٥	٠,٠٦				خرسانة مسلحة
						٧ - زهر من
-	٠,٠٣	-				مواسير ذات حماية داخلية من الموننة الاسمنتية.
-	٠,٠٣	-				مواسير ذات حماية داخلية من البيتومين
						٨- صلب
-	٠,٠٣	-				مواسير ذات حماية داخلية من الموننة الاسمنتية
-	٠,٠٣	-				مواسير ذات حماية داخلية من البيتومين
-	٠,٠٦	-				٩ - فخار ذات رأس وذيل بوصلة المرنة وكذلك بوصلة الموننة الاسمنتية (القلفطة)

جدول (٢) قيم معامل الزوجة (١) عند درجات الحرارة المختلفة

معامل الزوجة $10^{-6} \text{ م}/\text{ث}$	درجة الحرارة $^{\circ}\text{م}$	معامل الزوجة $10^{-7} \text{ م}/\text{ث}$	درجة الحرارة $^{\circ}\text{م}$
٠,٦٠٤	٤٥	١,٥٢١	٥
٠,٥٥٦	٥٠	١,٣١٠	١٠
٠,٥١٤	٥٥	١,١٤٨	١٥
٠,٤٧٨	٦٠	١,٠٠٧	٢٠
٠,٤٤٦	٦٥	٠,٨٩٧	٢٥
٠,٤١٧	٧٠	٠,٨٠٤	٣٠
٠,٣٩٢	٧٥	٠,٧٢٥	٣٥
٠,٣٦٦	٨٠	٠,٦٦١	٤٠

المعادلات الافتراضية (الصورة العامة)

و هذه معادلات تعتمد على افتراض صيغة معينة تكون على الصورة الآتية:

$$(٩) V = CR^{\alpha}S^{\beta}$$

حيث:

V = السرعة المتوسطة للسائل ($\text{م}/\text{ث}$)

R = المحيط المبتدل ووحداته (م)

C = معامل يتعين بالتجربة المعملية يتوقف على خشونة جدار الماسورة.

α, β = قيم لتحقيق طرفي المعادلة وتستخرج بالتجربة المعملية

و تمتاز هذه المعادلات بأنه سهلة التطبيق وتعطي دقة عند الاعتبار قيم الثوابت لكل معادلة ومن أشهر هذه المعادلات:

معادلة هازن ويليامز (Hazen Williams Formula)

وتعتبر هذه المعادلة من أكثر المعدلات شيوعا في الاستخدام لعدة اسباب منها:

١. ذات صيغة مناسبة في الاستخدام.
٢. حققت نتائج معملية مناسبة تتفق مع الصيغة الرياضية.
٣. صالحة للاستخدام لمدى واسع من الاقطان من ١٥٠ مم ولقيم C اكبر من ١٠٠.

والمعادلة على الصورة

$$(10) \quad H = \frac{6.78}{D^{0.165}} \left[\frac{V}{C} \right]^{1.85}$$

$$V = 0.35 CD^{0.63} \left[\frac{H}{L} \right]^{0.54}$$

ومنها يمكن استنتاج معادلة السرعة
حيث:

C : معامل الاحتكاك لهازن ويليامز ويحدد من الجدول (٣)

جدول (٣) قيم معامل الاحتكاك في معادلة هازن ويليامز C

نوع الماسورة	معامل C
١- اسيستوس اسمنتني	١٤٠
٢- بلاستيك	١٥٥-١٥٠
٣- بولستر مسلح بألياف الزجاج	١٥٥-١٥٠
٤- خرسانة سابقة الاجهاد	١٤٥-١٤٠
٥- خرسانة عادية	١٤٠-١٣٠
٦- خرسانة مسلحة	١٤٠-١٣٠
٧- زهر منز	١٤٥-١٤٠
٨- صلب	١٤٥-١٤٠
٩- فخار	١٤٥-١٤٠

معادلة مانج:

وهي معادلة مشهورة وتستخدم بكثرة وذلك للميزات الآتية:

الفوائد (H_f) تتناسب طردياً مع السرعة.

معامل الاحتكاك لمانج (n) يكون ثابت لنفس نوع المواسير.

نظراً لأن الفوائد الثانوية الناتجة من القطع الخاصة والأكواع والمحابس والتيهات غالباً تضاف إلى فوائد الاحتكاك ويعبر عنها بالصيغة $H = KV^2$

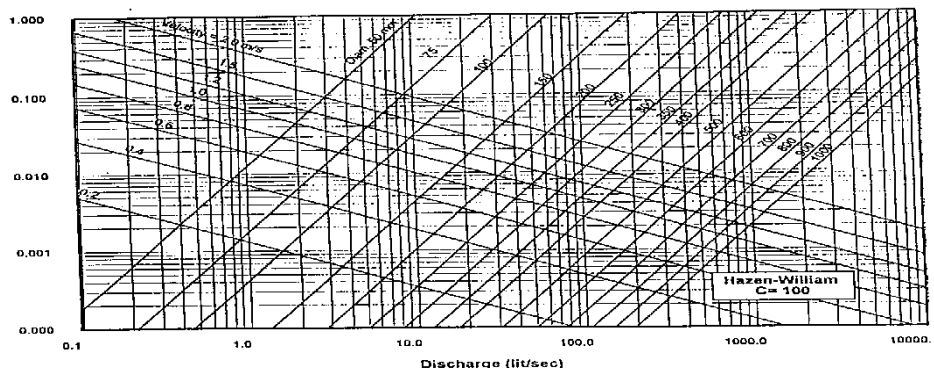
في حالة التصرفات الكبيرة ودراسة خطوط مواسير قديمة ذات سطح داخلي خشن وإذا كان معامل هازن وليامز للاحتكاك "C" أقل من 100 فتكون معادلة مانج هي الانسب في التطبيق عن معادلة هازن وليامز ومعادلة مانج تكون على الصورة الآتية :

$$(13) \quad V = \left[\frac{0.379}{n} \right] \times \left[\frac{H}{L} \right]^{\frac{1}{2}}$$

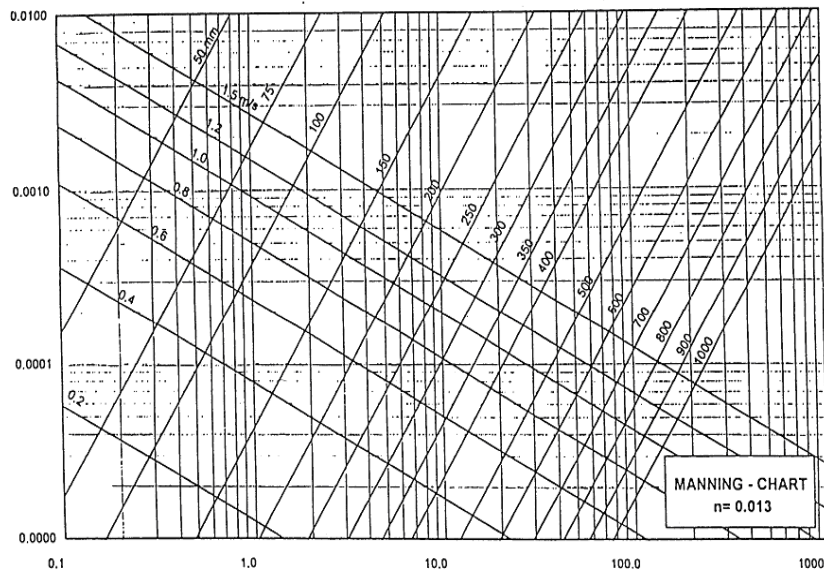
$$(14) \quad H = \left[\frac{n^2}{(0.379)^2} \right] \times \left[\frac{LV^2}{D^3} \right]$$

والجدول (4) يعطي قيم معامل الاحتكاك (n) في معادلة مانج وكذلك قيم معامل الاحتكاك (f) في معادلة دارسي. كما يمكن استخدام المنحنيات التصميمية لتحديد عناصر التصميم الهيدروليكي كما يلي:

الشكل رقم (1) عناصر التصميم الهيدروليكي طبقاً لمعادلة هازن وليامز. والشكل رقم (2) عناصر التصميم الهيدروليكي طبقاً لمعادلة مانج.



شكل رقم (1) منحنيات هازن وليامز لخطوط المواسير



شكل رقم (٢) المنحنيات الخاصة بمعادلة ماننج

جدول (٤) قيم معامل الاحتكاك (n) في معادلة ماننج (f) في معادلة دراسي

نوع الماسورة	معامل الاحتكاك (f) معادلة دراسي	معامل الاحتكاك (n) معادلة ماننج
١- اسبستوس اسمنتى	٠,٠١ - ٠,٠٠١	٠,٠١٥ - ٠,١١
مواسير زهر	٠,٠٠٨٥	-
غير مبطنة	٠,٠٠٤	-
مبطنة بالاسفلت	٠,٠١ - ٠,٠٠١	٠,٠١٥ - ٠,١١
مبطنة بمونة الاسمنت	٠,٠١ - ٠,٠٠١	٠,٠١٥ - ٠,١١
٣- مواسير خرسانية	٠,٠١ - ٠,٠٠١	٠,٠١٥ - ٠,١١
٤- مواسير بلاستيك	٠,٠١	٠,٠١٥ - ٠,١١
مواسير فخار	٠,٠١ - ٠,٠٠١	٠,٠١٥ - ٠,١١

تقسيم المدينة إلى مناطق صرف

نظراً لأن مواسير شبكة الصرف الصحي توضع بمعدل يسمح بجريان الماء فيها بالانحدار الطبيعي فمن البديهي أنه في البلاد المسطحة نسبياً يزيد عمق الماسورة كلما زاد طولها. المر الذي يزيد التكاليف الإنسانية ويمثل خطر على المنشآت المجاورة للخدق الذي توضع فيه الماسورة. لذلك يتحتم تقسيم المدينة إلى مناطق متعددة على أن تؤدي شبكة الصرف في كل منطقة إلى محطة رفع خاصة بالمنطقة - هذه المحطة تعرف المخلفات السائلة إلى المجمع الرئيسي الذي يصل إلى محطة الطلبات الرئيسية وهذا يسمى (Sectional System) أي الصرف مع التقسيم إلى مناطق.

خطوات تصميم قطاعات المواسير لشبكة الانحدار

بعد تقدير كمية المخلفات التي تمر في كل فرع من فروع شبكة الصرف الصحي وكذلك تقدير التغيرات في هذه الكمية من وقت لآخر. يمكن تصميم المواسير وذلك مع مراعاة الشروط الآتية:

1. تصميم مواسير الصرف بحيث لا تكون ممتلئة القطاع بل بحيث يكون ارتفاع الماء فيها كالتالي:
 - حوالي ثلث القطر عند مرور ادنى تصرف جاف.
 - حوالي نصف القطر عند مرور أقصى تصرف جاف.
 - حوالي ثلاثة أرباع القطر عند مرور أقصى تصرف ممطر للمواسير الكبيرة التي يزيد قطرها عن سبعين سنتيمتراً.
 - القطر الكامل تقريباً عند مرور أقصى تصرف ممطر للمواسير التي يقل قطرها عن سبعين سنتيمتراً.
2. يجب أن تكون السرعة في مواسير الصرف كافية لمنع رسوب المواد العالقة في قاع الماسورة. وهي ما تسمى (Self Cleaning Velocity) وقد وجد أن هذه السرعة يجب ألا تقل عن ٦٠ سنتيمتراً في الثانية، عندما يكون التصرف في الماسورة مساوياً للتصرف المتوسط في اليوم بينما في حالة أقصى تصرف جاف يجب ألا تقل السرعة عن ٧٥ سنتيمتراً في الثانية.

أما في حالة أدنى تصرف فيسمح بعبور السرعة حتى ٤٥ أو ٥٠ سنتيمتراً في الثانية، وذلك لأن المياه عندئذ تكون خالية نسبياً من المواد العالقة نظراً لأن هذا التصرف يحدث عادة في ساعات الليل حيث يكون مصدر اغلب المياه في الماسورة هو مياه الرشح. وبذلك نضمن عدم حدوث أي ترسيب في جميع الحالات.

والجدول رقم (٥) يبين مساحة القطاع المائي ونصف القطر الهيدروليكي والسرعة والتصرف عند مرور الماء في قطاع دائري على اعماق مختلفة.

جدول رقم (٥) العلاقات الهيدروليكية في تصميم خطوط مواسير الانحدار

عمق الماء	المساحة	نصف القطر الهيدروليكي	السرعة	التصريف
١/٤ ق	٠,١٥٣ م٢	٠,١٤٦ م٢	٠,٧٠ م/ث	٠,١٣٧ ص
١/٣ ق	٠,٢٦٦ م٢	٠,١٨٤ م٢	٠,٨٢ م/ث	٠,٢٣٥ ص
٢/٣ ق	٠,٣٩٢ م٢	٠,٢٥٠ م٢	١,٠٠ م/ث	٠,٥٠ ص
٢/٣ ق	٠,٥٦٠ م٢	٠,٢٥٠ م٢	١,١١ م/ث	٠,٧٩ ص
٢/٤ ق	٠,٨٧٤ م٢	٠,٣٤١ م٢	١,٣٤ م/ث	٠,٩١٢ ص
ق	٠,٧٨٤ م٢	٠,٢٥٠ م٢	س	ص

حيث:

ق = قطر الماسورة (مم)

س = سرعة الماء عند امتلاء الماسورة (م/ث)

ص = التصرف عند امتلاء الماسورة (لتر/ث)

٣. يجب ألا تزيد سرعة المياه عن السرعة المئوية (Destructive Velocity) وقيمتها تتوقف على مادة تصنيع الماسورة ويفضل عادة ألا تتجاوز السرعة في الماسورة عن متر ونصف في الثانية.

٤. أقل قطر ممكн لاماسورة الصرف هو ١٥ مم (ويفضل أحياناً ١٧٥ مم أو ٢٠٠ مم) وذلك منعاً لاحتمال انسدادها بما قد تتحمله من مواد صلبة كبيرة الحجم.

٥. ويتم تصميم قطاع الماسورة اي تعين القطر والميل بإتباع الخطوات الآتية:

- يعين التصرف الذي يمر في الماسورة (أدنى تصرف Q_{min} ، التصرف المتوسط Q_{ave} و أقصى تصرف Q_{max}).
- بفرض ان أدنى تصرف Q_{min} يمر بحيث يكون ارتفاع الماء في الماسورة يساوي ثلث القطر وبالرجوع الي جدول رقم (٥)، نجد ان نسبة هذا التصرف الى التصرف عندما يكون القطاع ممتلىء تساوي ٢١٥، أي أن التصرف عند امتلاء القطاع = $4,25 \times$ أدنى تصرف.

$$\frac{Q}{V} = A \quad \text{بفرض سرعة المياه للقطاع الممتلىء (}V_f\text{) تساوي ١٠٠-٨٠ سنتيمتراً/ثانية. تكون مساحة القطاع}$$

• ومن ثم يمكن إيجاد القطر – فإذا لم يتواجد هذا القطر في الأسواق يختار القطر الأكبر منه مباشرة.

- بمعرفة القطر (D) الذي وقع عليه الاختيار عند امتلاء القطاع تساوي $\frac{4Q}{\pi D^2}$ ويمكن إيجاد الميل S الذي توضع عليه الماسورة وذلك بالتعويض في احد المعادلات الآتية حيث $R=D/4$.

(Chezy)	$V = C \sqrt{RS}$
(Manning)	$V = \frac{1}{n} R^{2/3} S^{1/2}$
(Santo Crimo)	$V = 83 R^{2/3} S^{1/2}$
(William-Hazen)	$V = 1.318 R^{0.63} S^{0.54}$

حيث:

V = السرعة بالمتر / ثانية

R = نصف القطر الهيدروليكي بالمتر

= مساحة قطاع الماسورة الممتلىء بالماء

= مساحة محيط الماسورة المبلول بالماء

S = ميل الماسورة – ويساوي كذلك معدل الفاقد في الاحتكاك

C = معامل ثابت يتوقف على نوع الماسورة ويعطي كاتر (Kutter) قيمة لهذا الثابت بالمعادلة الآتية:

$$(15) \quad C = \frac{23 + \frac{1}{n} + \frac{0.0055}{S}}{1 + 23 + \frac{0.0055n}{S} \sqrt{R}}$$

حيث: n = ثابت يتوقف على مادة تصنيع الماسورة

= ١٠,٠٠٨ ← للخشب الممسوح جيداً

= ١٢,٠٠٠ ← للمواشير المبطنة بالاسمنت

= ١٤,٠٠٠ ← للخشب الغير ممسوح

= ١٣,٠٠٠ ← للمواشير الخرسانية

= ١٥,٠٠٠ ← للمواشير الفخار المزوج

= ١٧,٠٠٠ ← للمواشير المبنية بالطوب أو الدبش

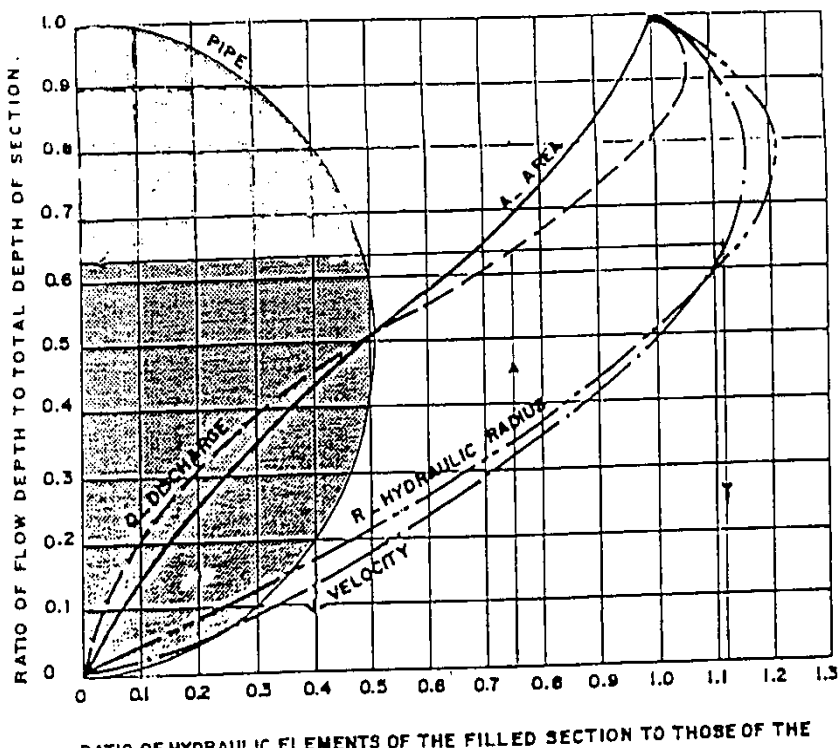
يسعمل والمنحي في الشكل (٣) يوضح العناصر الهيدروليكيه لمواسير الانحدار الغير ممتلئة وذلك لحساب السرعة عند التصرفات المختلفة التي تتوارد في الماسورة ويبين كل منهن المساحة النسبية والسرعة النسبية والتصرف النسبي للمواسير المستديرة عند وجود الماء على اعمق مختلفة في ماسورة الصرف.

أي يبين العلاقة بين $\frac{d}{D}, \frac{q}{Q}, \frac{d}{V}$ وكذلك العلاقة بين

حيث:

$d = a$ المساحة عند مرور الماء بعمق قدره

$A = A$ المساحة الكلية للماسورة



EXAMPLE (1)

$$\frac{Q_{max}}{Q_{full}} = 0.75 \rightarrow \frac{V_{max}}{V_{full}} = 1.12, \frac{D_{max}}{D_{full}} = 0.63$$

EXAMPLE (2)

$$\frac{Q_{min}}{Q_{full}} = 0.20 \rightarrow \frac{V_{min}}{V_{full}} = 0.73, \frac{D_{min}}{D_{full}} = 0.31$$

الشكل (٣) العناصر الهيدروليكيه لمواسير الانحدار الغير ممتلئة في القطاع الدائري

- اما في حالة ادنى تصرف فيسمح بعبوٌ السرعة حتى ٤٥ أو ٥٠ سنتيمتر في الثانية، وذلك لأن الماء عند تكون خالية نسبياً من المواد العالقة نظراً لأن هذا التصرف يحدث عادة في ساعات الليل حيث يكون مصدر اغلب المياه في الماسورة هو مياه الرشح. وبذلك نضمن عدم حدوث اي ترسيب في جميع الحالات. ويمكن استخدام المنحني الموضح بالشكل السابق ذكره رقم (٣) لتحديد اقصى وادنى سرعة طبقاً للتصرف في كل حالة.
- يتغير اقل ميل للماسورة حسب قطرها. ويوضح جدول رقم (٦) اقل ميل مسموح به للماسورة.

جدول رقم (٦) العلاقة بين قطر الماسورة وأدنى ميل لخط المواسير

أدنى ميل للراسورة (م/م)	قطر الماسورة (مم)	
	مم	بوصة
٥	١٧٥	٧
٤	٢٠٠	٨
٣,٥	٢٢٥	٩
٣,٢٥	٢٥٠	١٠
٣,٠	٣٠٠	١٢
٢,٧٥	٣٧٥	١٥
٢,٥	٤٥٠	١٨
٢,٠	٥٠٠	٢٠
١,٥	٦٠٠	٢٤
٠,١	٨٠٠	٣٢
٠,٨	١٠٠٠	٤٠
٠,٦	١٢٠٠	٤٨
٠,٤	١٥٠٠	٦٠

ويمكن استخدام الجداول الملحقة من هذا الكتاب وذلك لتصميم مواسير تجميع مياه الصرف الصحي بالانحدار مباشرة بعد معرفة التصرف المملوء والميل الاقتصادي.

يتم اختيار قطر ماسورة الصرف الصحي بحيث تستوعب اقصى تصرف (flow Design peak)، على ان تكون الماسورة مملوئة جزئيا حتى لا يحدث تحل لاهوائي، وتتراوح نسبة الاملاء من ٠,٥ الى ٠,٨ من تصرف الاملاء.

ومن واقع الخبرة العملية فان نسبة الاملاء تتغير تبعا لقطر الماسورة كما هو موضح بالجدول رقم (٧)

ولا يجب أن يقل قطر ماسورة الصرف الصحي عن ١٧٥ مم للوصلات المنزلية الصغيرة، وذلك منعا لاحتمال سددها بما قد تحمله من مواد صلبة كبيرة.

جدول رقم (٧) العلاقة بين نسبة الاملاء وقطر ماسورة الصرف الصحي

نسبة الاملاء	قطر الماسورة (مم)
٠,٥	٢٥٠، ٢٢٥، ١٧٥
٠,٦٧	٦٠٠، ٤٥٠، ٣٧٥، ٣٠٠
٠,٨	٨٠٠ وأكبر

معامل الاحتكاك

يفضل استعمال معامل احتكاك (n) = ٠,٠١٣، بحيث يغطي كل أنواع المواسير.

السرعة في مواسير الصرف

يجب ان تكون سرعة سريان المياه في مواسير الصرف كافية لمنع رسوب المواد العالقة في قاع الماسورة. وتسمى هذه السرعة سرعة التنظيف الذاتي (Self-cleaning velocity). وقد وجد انها الا تقل عن ٦٠ سنتيمترا في الثانية، عندما يكون التصرف في الماسورة مساويا للتصرف المتوسط في اليوم، بينما في حالة اقصى تصرف جاف الا تقل السرعة عن ٧٥ سنتيمترا في الثانية. ويوضح الجدول رقم (٨) العلاقة بين السرعة النسبية والتصرف النسبي للمواسير المستديرة.

كما يبين الجدول رقم (٩) اقل انحدار توضع عليه المواسير بحيث يتتوفر شرط عدم هبوط السرعة عن الحدود المقررة.

وبعد تحديد قيمة التصرف عند املاء الماسورة بحوالي 4×25 أدنى تصرف. فإن تصميم ماسورة الصرف الصحي هو في الواقع تطبيق القوانين السابقة على ماسورة دائيرية ممتلئة ولكن ليست تحت ضغط، هذه القوانين تحتوي على خمسة متغيرات S-n-D-V-Q إذا علم ثلاثة منها أمكن معرفة الاثنان الباقيان، الا في حالة معرفة D-V-Q فلا يمكن تحديد قيمة S-n.

جدول رقم (٨) العلاقة بين السرعة النسبية والتصرف النسبي للمواسير دائيرية الشكل

التصريف النسبي	السرعة النسبية	نصف القطر الایدروليكي	المساحة النسبية A/A	عمق الماء قطر الماسورة
q/Q	v/V	r/R		
٠,٠٠٠٥	٠,٠٨٩	٠,٠٢٦٥	٠,٠٠١٧	٠,٠١
٠,٠٠٠٧	٠,١٤٠٨	٠,٠٥٢٨	٠,٠٠٤٨	٠,٠٢
٠,٠٠٤٧	٠,٢٥٦٩	٠,١٣٠٢	٠,٠١٨٧	٠,٠٥
٠,٠٢٠٩	٠,٤٠١٢	٠,٢٤٥١	٠,٠٢٥٠	٠,١
٠,٠٢٦٩	٠,٥٥٧٨	٠,٤١٦٧	٠,١١٢٧	٠,١٧
٠,٠٨٧٦	٠,٦١٥١	٠,٤٨٢٤	٠,١٤٢٤	٠,٢
٠,١٩٥٨	٠,٧٧٦١	٠,٦٨٣٨	٠,٢٥٢٣	٠,٣٠
٠,٢٣٥٢	٠,٧١٧٢	٠,٧٣٧٨	٠,٢٨٧٨	٠,٣٣
٠,٢٦٢٩	٠,٨٤٣٠	٠,٧٧٤٠	٠,٣١١٩	٠,٣٥
٠,٣٣٧٠	٠,٩٠٢٢	٠,٨٥٦٩	٠,٣٧٣٥	٠,٤٠
٠,٥٠٠٠	٠,٠٠٠٠	١,٠٠٠٠	٠,٥٠٠٠	٠,٥٠
٠,٦٧١٨	١,٧٠٢٤	١,٦١٠٦	٠,٦٢٦٥	٠,٦٠
٠,٧٨٩٣	١,١٠٨٣	١,١٦١٧	٠,٧١٢٢	٠,٦٧
٠,٤٣٧٢	١,١١٩٨	١,٠١٨٤٩	٠,٧٤٧٧	٠,٧٠
٠,٩٧٧٥	١,١٣٩٧	١,٢١٦٨	٠,٨٥٧٦	٠,٨٠
٠,٩٨٩٢	١,١٤٠٠	١,٢١٧٢	٠,٨١٧٧	٠,٨١
١,٠٣١٤	١,١١٢٧٤	١,٢١٣١	٠,٩٠٥٩	٠,٨٥
١,٠٦٥٨	١,١٢٤٣	١,١٩٢١	٠,٩٤٨٠	٠,٩٠
١,٠٧٥٧	١,١٠٢٧	١,١٥٧٩	٠,٩٧٥٥	٠,٩٤
١,٠٧٤٥	١,٠٩٥٠	١,١٤٥٨	٠,٩٨١٣	٠,٩٥
١,٠٠٠٠	١,٠٠٠٠	١,٠٠٠٠	١,٠٠٠٠	١,٠٠

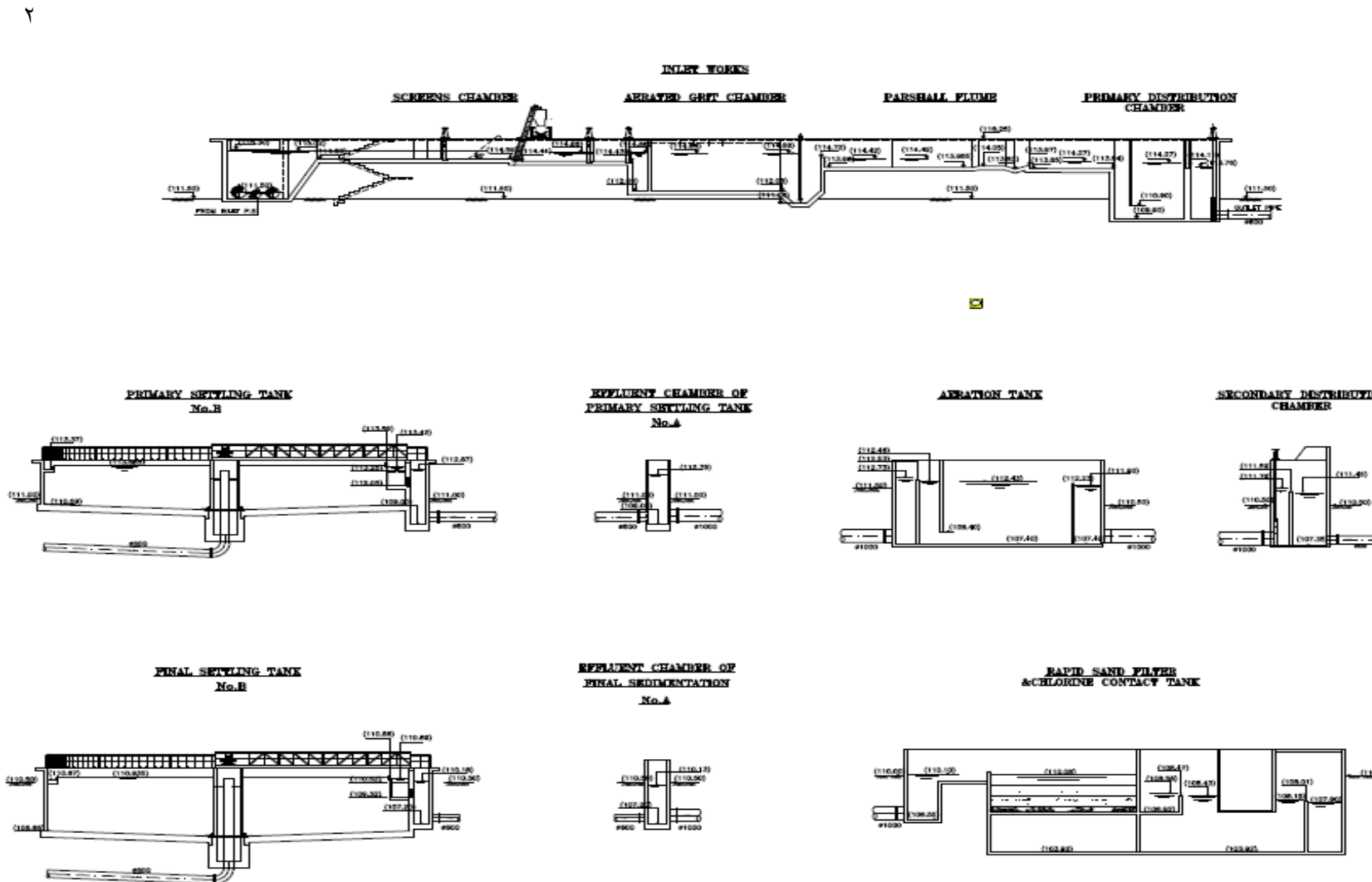
جدول رقم (٩) العلاقة بين أدنى انحدار وقطر خط مواسير الصرف الصحي

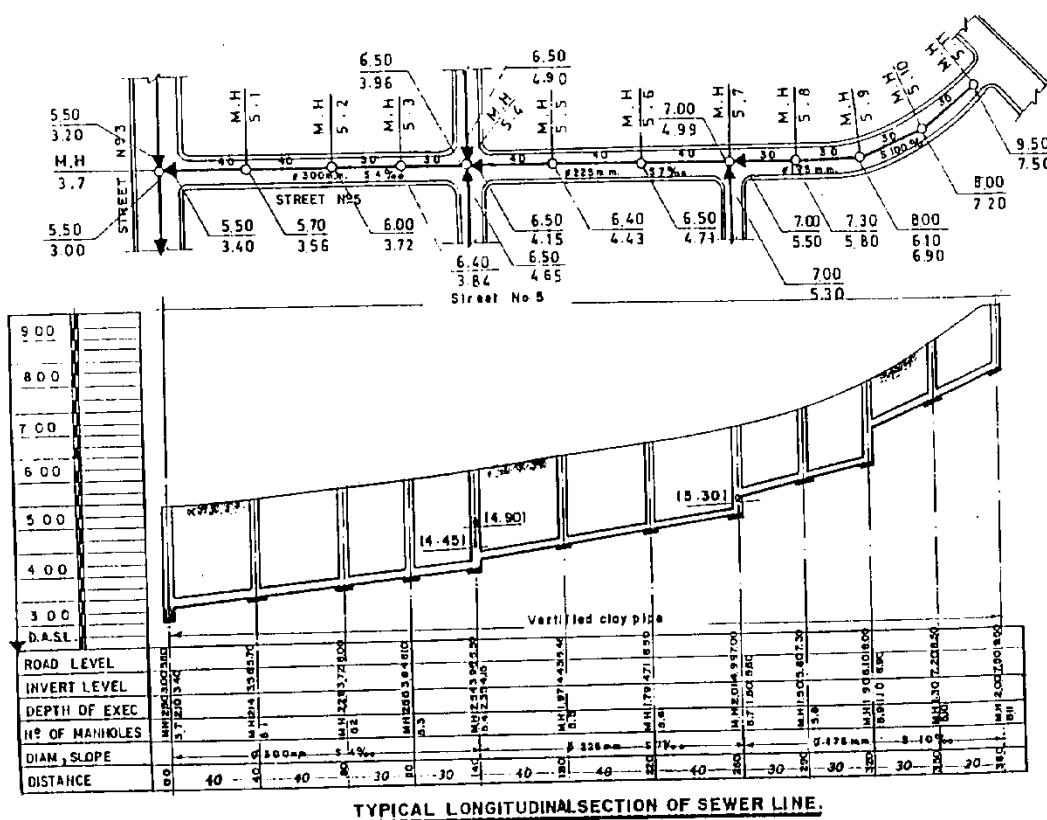
مياه صرف صحي معالجة ٦٠ سم/ثانية	مياه صرف صحي خام سرعة ٧٥ سم/ثانية	القطر بالبوصة
ماسورة خزف أو إسمنتية	ماسورة زهر	ماسورة خرف أو إسمنتية
١٨٥:١	٩٠:٩	١١٠:١
٢٤٠:١	١٢٢:١	١٥٠:١
٢٩٥:١	١٥٥:١	١٩٠:١
٤١٥:١	٢١٥:١	٢٦٥:١
٦١٠:١	٣١٥:١	٣٨٥:١
٨٢٠:١	٤٢٠:١	٥٢٠:١
١٠٥٠:١	٥٣٥:١	٦٦٠:١
١٥٠٠:١	٨٠٠:١	٩٧٠:١
١٨٠٠:١	٩٠٠:١	١١٠٠:١
٢٠٥٠:١	١٠٦٠:١	١٣٠٠:١
٣٢٥٠:١	١٢٣٠:١	١٥٠٠:١
٢٦٠٠:١	١٣٤٠:١	١٦٥٠:١
٧٩٠٠:١	١٥٠٠:١	١٨٥٠:١
٣٢٠٠:١	١٦٧٠:١	٢٠٥٠:١
٣٥٠٠:١	١٨٣٠:١	٢٢٥٠:١

القطاعات الطولية لمواسير الانحدار

بعد إتمام تصميم مختلف مواسير شبكة تجميع مياه الصرف الصحي بالانحدار الطبيعي، أي تعين القطر والميل، ترسم قطاعات طولية لخطوط المواسير المختلفة، كالمبين بالشكل رقم (٤)، ويوضح عليه البيانات الآتية:

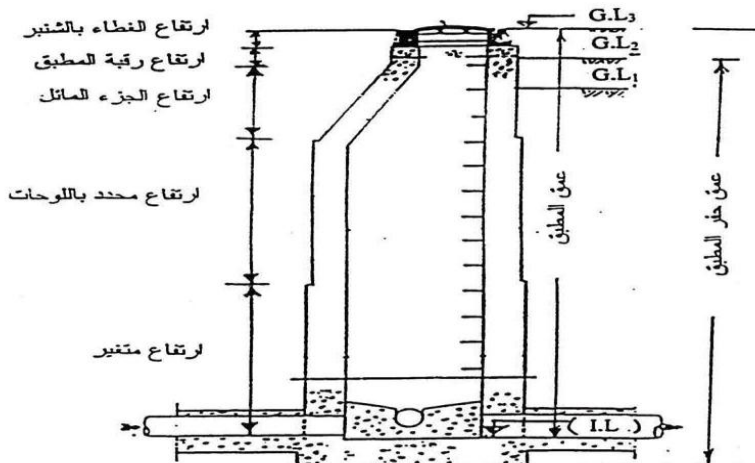
١. منسوب الأرض الطبيعية أو منسوب أعلى الرصف.
٢. منسوب قاع الماسورة.
٣. عمق الحفر حتى قاع خندق الماسورة.
٤. ميل الماسورة.
٥. نوع مادة الماسورة.
٦. أماكن تقاطع المواسير حيث تنشأ المطابق.
٧. أماكن المطابق وارقامها.
٨. موقع المنشآت المقامة على الخط.
٩. موقع عبور العوائق المختلفة (س kak حديدية - مجاري مائية - ترع ومصارف - طرق رئيسية).
١٠. توصيات المباني المختلفة على خطوط المواسير.
١١. أساسات المواسير ومناسبيها.





شكل رقم (٤) قطاع طولي لخطوط مواسير الانحدار لشبكات الصرف الصحي نموذج رقم (١)

قطاع في مطبق صرف صحي



- G.L = Ground Level
 - I.L = Invert Level

منسوب سطح الأرض باللوحات ومنه يتم احتساب بنود العطاء
 منسوب سطح الأرض بالطبيعة ومنه يتم احتساب حصة المواصي
 منسوب سطح الأرض النهائي ومنه يتم احتساب ارتفاع المطبق
 منسوب أولى نقطة في المطبق عند مأسورة الخارج. ويمكن اعتبارها منسوب
 منتصف المطبق حيث التغير في المناسبات داخل المطبق أقل من 1 سم

أنواع مواسير شبكات تجميع مياه الصرف الصحي

هناك بعض العوامل التي يجب أن تؤخذ في الاعتبار عند اختيار نوع المواسير المستخدمة في شبكات تجميع مياه الصرف الصحي ويمكن ذكر هذه العوامل كما يلي:

١. خواص مياه الصرف الصحي التي تحملها المواسير.
 ٢. الافتراضي لنوع المواسير وعلاقته بالفترة التصميمية للمشروع.
 ٣. مدى مقاومة المواسير للنهر نتيجة السرعات العالية.
 ٤. التأكيل نتيجة الأحماض المتواجدة داخل المواسير وخاصة في الجزء العلوي الداخلي.
 ٥. السهولة في النقل والمناولة والتركيب وتحمل المواسير للأحمال المؤثرة عليها داخلياً وخارجياً.
 ٦. نوع الوصلات المستخدمة لهذا النوع وسهولة تركيبها.
 ٧. مسامية مادة المواسير.
 ٨. الأقطار والنوعية المتاحة.
 ٩. أسعار المواسير.

ومن الصعب أن تتوافر جميع الاحتياجات في نوع واحد من الأنواع المختلفة ولذلك فإنه يتم اختيار أنساب هذه الأنواع طبقاً لظروف المدينة.

وعومماً فإن أنسب أنواع الموسير بالانحدار الطبيعي والتي تستخدم في تجميع مياه الصرف الصحي هي موسير الفخار المزجج، والبلاستيك، والألياف الزجاجية (الفيبرجلاس)، والموسير الخرسانية. وسنتناول فيما يلي هذه الأنواع الأربع مع تلخيص مميزات وعيوب كل نوع منها.

مواسير الفخار المزجج

هي مواسير مصنوعة من خليط متجانس من الطين المحروق في درجة حرارة لا تقل عن 1100 درجة مئوية، وهي مزججة من الداخل والخارج بطبقة شببيه بالزجاج (محلول كلوريد الصوديوم). وينتج هذا النوع من المواسير بأطوال تتراوح من ١٠٠٠ متر إلى ٢٠٠٠ متر وبأقطار تتراوح من ١٠٠ مم إلى ١٠٠٠ مم.

مواسير البلاستيك uP.V.C

هي مواسير مصنوعة من مادة بولي كلوريد الفينيل غير اللدن وبعض المواد المضافة غير السامة، وينتج هذا النوع من المواسير في مصر بأطوال ٦، ٩، ٣ أمتار، وبأقطار حتى ٤٠٠ مم.

مواسير الألياف الزجاجية (الفيبر جلاس)

هي مواسير مصنوعة من خليط مكون من الآتي :

١. بولي استر، وهو راتنج سائل كمادة لاصقة.
 ٢. ألياف الزجاج المعروفة بالـ E. Galss، وتستخدم على هيئة خيوط مركبة من شعيرات مستمرة، متوسط قطر الشعيرة حوالي ١٥ ميكرون.
 ٣. شرائط رقيقة من ألياف الزجاج المعروفة بالـ Glass C، مصنوعة من شعيرات دقيقة منسوجة من الزجاج المحتوى على نسبة عالية من أكسيد السليكون (٦٦٪)، وتستخدم في بناء الطبقة الداخلية والخارجية للمواسير.
 ٤. رمل الكوارتز، ويحتوي على ٩٥٪ أكسيد سيليكون، ويستخدم في التصنيع كمادة مالئة، وتختلف نسبة إضافته حسب نوعية المواسير.
- ويتم تصنيع هذا النوع من المواسير في مصر بأطوال من ٦ إلى ١٢ مترًا وأقطار من ٢٠٠ مم إلى ١٨٠٠ مم.

المواسير الخرسانية

تنتج محلياً بأقطار تبدأ من ٦٠٠ مم وتصنع من الخرسانة المسلحة، وهناك أنواع منها تصنع من الخرسانة المسلحة سابقة الإجهاد، ويستخدم الإسمنت المقاوم للكبريتات في صناعة هذه المواسير. كما يتم دهانها من الداخل والخارج بالبيتومين الساخن، أو تبطينها بطبقات من البلاستيك.

جدول تصميم خطوط مواسير الانحدار لتجمیع مياه الصرف الصحي

SLOPE %	150 mm.		175 mm.		200 mm.	
	Q (l/s)	V (m/s)	Q (l/s)	V (m/s)	Q (l/s)	V (m/s)
50.0	34.05	1.93	51.37	2.14	73.34	2.33
45.0	32.31	1.83	48.73	2.06	69.58	2.21
40.0	30.46	1.72	45.94	1.91	65.60	2.09
35.0	28.49	1.61	42.98	1.79	61.36	1.95
30.0	26.38	1.49	39.79	1.65	56.81	1.81
28.0	25.48	1.44	38.44	1.60	54.88	1.75
26.0	24.56	1.39	37.04	1.54	52.89	1.58
24.0	23.59	1.34	35.59	1.48	50.81	1.62
22.0	22.59	1.28	34.07	1.42	48.65	1.55
20.0	21.54	1.22	32.49	1.35	46.38	1.48
18.0	20.43	1.16	30.82	1.28	44.00	1.40
16.0	19.26	1.09	29.06	1.21	41.49	1.32
14.0	19.02	1.02	27.18	1.13	38.81	1.24
12.0	16.68	0.94	25.17	1.05	35.93	1.14
10.0	15.23	0.88	22.97	0.96	32.80	1.04
9.8	15.08	0.86	22.74	0.95	32.47	1.03
9.6	14.92	0.84	22.51	0.94	32.14	1.02
9.4	14.77	0.84	22.27	0.93	31.80	1.01
9.2	14.61	0.83	22.03	0.92	31.46	1.00
9.0	14.45	0.82	21.79	0.91	31.12	0.99
8.8	14.29	0.81	21.55	0.90	30.77	0.98
8.6	14.12	0.80	21.30	0.89	30.42	0.97
8.4	13.98	0.79	21.05	0.88	30.08	0.96
8.2	13.79	0.78	20.80	0.86	29.70	0.95
8.0	13.62	0.77	20.55	0.85	29.34	0.93
7.8	13.45	0.76	20.29	0.84	29.97	0.92
7.6	13.28	0.75	20.03	0.83	28.59	0.91
7.4	13.10	0.74	19.76	0.82	28.21	0.90
7.2	12.92	0.73	19.49	0.81	27.83	0.89
7.0	12.74	0.72	19.22	0.80	27.44	0.87
6.8	12.56	0.71	18.94	0.79	27.05	0.86
6.6	12.37	0.70	18.66	0.78	26.65	0.85
6.4	12.18	0.69	18.38	0.76	26.24	0.84
6.2	11.99	0.68	18.09	0.75	25.83	0.82
6.0	11.80	0.67	17.79	0.74	25.41	0.81
5.8	11.60	0.66	17.50	0.73	24.98	0.80
5.6	11.40	0.64	17.19	0.71	24.54	0.78
5.4	11.19	0.63	16.88	0.70	24.10	0.77
5.2	10.98	0.62	16.57	0.69	23.65	0.75
5.0	10.77	0.61	16.24	0.68	23.19	0.74
4.8	10.55	0.60	15.92	0.66	22.72	0.72
4.6	10.33	0.58	15.58	0.65	22.25	0.71
4.4	10.10	0.57	15.24	0.63	21.76	0.69
4.2	9.87	0.56	14.89	0.62	21.26	0.68
4.0	9.63	0.55	14.53	0.60	20.74	0.66
3.5	9.01	0.51	13.59	0.57	19.40	0.62
3.0	8.34	0.47	12.58	0.52	17.96	0.57
2.5	7.61	0.43	11.49	0.48	16.40	0.52
2.0	6.81	0.39	10.27	0.43	14.67	0.47
1.5	5.90	0.33	8.90	0.37	12.70	0.40

SLOPE %	225 mm.		250 mm.		275 mm.	
	Q (l/s)	V (m/s)	Q (l/s)	V (m/s)	Q (l/s)	V (m/s)
50.0	100.40	2.53	132.97	2.71	171.45	2.89
45.0	95.25	2.40	126.15	2.57	162.65	2.74
40.0	89.80	2.26	118.94	2.42	153.35	2.58
35.0	84.00	2.11	111.25	2.27	143.45	2.42
30.0	77.77	1.96	103.00	2.10	132.81	2.24
28.0	75.13	1.89	99.51	2.03	128.30	2.16
26.0	72.40	1.82	95.89	1.95	123.64	2.08
24.0	69.56	1.75	92.13	1.88	118.79	2.00
22.0	66.60	1.67	88.21	1.80	113.79	1.91
20.0	63.50	1.60	84.10	1.71	108.44	1.83
18.0	60.24	1.52	79.76	1.63	102.87	1.73
16.0	56.80	1.43	75.22	1.53	96.99	1.63
14.0	53.13	1.34	70.38	1.43	90.72	1.53
12.0	49.19	1.24	65.14	1.33	83.99	1.41
10.0	44.90	1.13	59.47	1.21	76.68	1.29
9.8	44.45	1.12	58.87	1.20	75.91	1.28
9.6	43.99	1.11	58.27	1.19	75.13	1.26
9.4	43.53	1.09	57.66	1.17	74.34	1.25
9.2	43.07	1.08	57.04	1.16	73.55	1.24
9.0	42.60	1.07	56.42	1.15	72.74	1.22
8.8	42.12	1.06	55.79	1.14	71.93	1.20
8.6	41.64	1.05	55.15	1.12	71.11	1.20
8.4	41.15	1.03	54.50	1.11	70.27	1.18
8.2	40.66	1.02	53.85	1.10	69.43	1.17
8.0	40.16	1.01	53.19	1.08	68.58	1.15
7.8	39.66	1.00	52.52	1.07	67.72	1.14
7.6	39.14	0.98	51.84	1.06	66.84	1.13
7.4	38.63	0.97	51.16	1.04	65.96	1.11
7.2	38.10	0.96	50.48	1.03	65.06	1.10
7.0	37.57	0.94	49.75	1.01	64.15	1.08
6.8	37.03	0.93	49.04	1.00	63.23	1.06
6.6	36.48	0.92	48.31	0.98	62.29	1.05
6.4	35.92	0.90	47.57	0.97	61.34	1.03
6.2	35.36	0.89	46.83	0.95	60.37	1.02
6.0	34.78	0.87	46.06	0.94	59.39	1.00
5.8	34.20	0.86	45.29	0.92	58.39	0.98
5.6	33.60	0.85	44.50	0.91	57.38	0.97
5.4	33.00	0.83	43.70	0.89	56.35	0.95
5.2	32.38	0.81	42.88	0.87	55.29	0.93
5.0	31.75	0.80	42.05	0.86	54.22	0.91
4.8	31.11	0.78	41.20	0.84	53.12	0.89
4.6	30.45	0.77	40.33	0.82	52.00	0.88
4.4	29.78	0.75	39.45	0.80	50.86	0.86
4.2	29.10	0.73	38.54	0.79	49.69	0.84
4.0	28.40	0.71	37.61	0.77	48.49	0.82
3.5	26.56	0.67	35.18	0.72	45.36	0.76
3.0	24.59	0.62	32.57	0.66	42.00	0.71
2.5	22.45	0.56	29.73	0.61	38.34	0.65
2.0	20.08	0.51	26.60	0.54	34.29	0.58
1.5	17.39	0.44	23.03	0.47	29.70	0.50

SLOPE %	300 mm.		325mm.		350mm.	
	Q (l/s)	V (m/s)	Q (l/s)	V (m/s)	Q (l/s)	V (m/s)
50.0	216.23	3.06	267.68	3.23	326.17	3.39
45.0	205.13	2.90	253.84	3.06	309.43	3.22
40.0	193.40	2.74	239.42	2.89	291.73	3.03
35.0	180.91	2.56	223.96	2.70	272.89	2.84
30.0	167.49	2.37	207.34	2.50	252.65	2.63
28.0	161.81	2.29	200.31	2.41	244.08	2.54
26.0	155.93	2.21	193.03	2.33	235.20	2.44
24.0	148.81	2.12	185.45	2.24	228.97	2.35
22.0	143.43	2.03	177.56	2.14	216.35	2.25
20.0	136.76	1.93	169.29	2.04	206.29	2.14
18.0	129.74	1.84	160.61	1.94	195.70	2.03
16.0	122.32	1.73	151.42	1.83	184.51	1.92
14.0	114.42	1.62	141.64	1.71	172.59	1.79
12.0	105.93	1.50	131.13	1.58	159.79	1.66
10.0	96.70	1.37	119.71	1.44	145.87	1.52
9.8	95.73	1.35	118.51	1.43	144.40	1.50
9.6	94.75	1.34	117.29	1.41	142.92	1.49
9.4	93.76	1.33	116.06	1.40	141.42	1.47
9.2	92.75	1.31	114.82	1.38	139.91	1.45
9.0	91.74	1.30	113.57	1.37	138.38	1.44
8.8	90.71	1.28	112.30	1.35	136.83	1.42
8.6	89.68	1.27	111.01	1.34	135.27	1.41
8.4	88.63	1.25	109.72	1.32	133.59	1.39
8.2	87.57	1.24	108.40	1.31	132.09	1.37
8.0	86.49	1.22	107.07	1.29	130.47	1.36
7.8	85.40	1.21	105.72	1.27	128.83	1.34
7.6	84.30	1.19	104.36	1.26	127.16	1.32
7.4	83.19	1.18	102.98	1.24	125.48	1.30
7.2	82.05	1.16	101.58	1.22	123.77	1.29
7.0	80.91	1.14	100.16	1.21	122.04	1.27
6.8	79.74	1.13	98.71	1.19	120.28	1.25
6.6	78.56	1.11	97.25	1.17	118.50	1.23
6.4	77.36	1.09	95.77	1.15	116.69	1.21
6.2	76.14	1.08	94.26	1.14	114.85	1.19
6.0	74.90	1.06	92.73	1.12	112.99	1.17
5.8	73.65	1.04	91.17	1.10	111.09	1.15
5.6	72.37	1.02	89.58	1.08	109.18	1.13
5.4	71.06	1.01	87.97	1.06	107.19	1.11
5.2	69.73	0.99	86.32	1.04	105.19	1.09
5.0	68.38	0.97	84.65	1.02	103.14	1.07
4.8	67.00	0.95	82.94	1.00	101.06	1.05
4.6	65.59	0.93	81.19	0.98	98.93	1.03
4.4	64.14	0.91	79.41	0.96	96.76	1.01
4.2	62.67	0.89	77.58	0.94	94.53	0.98
4.0	61.16	0.87	75.71	0.91	92.25	0.96
3.5	57.21	0.81	70.82	0.85	86.30	0.90
3.0	52.97	0.75	65.57	0.79	79.88	0.83
2.5	48.35	0.68	59.85	0.72	72.93	0.76
2.0	43.25	0.61	53.54	0.65	65.23	0.68
1.5	37.45	0.53	46.36	0.56	56.49	0.59

SLOPE %	375mm.		400mm.		450mm.	
	Q (l/s)	V (m/s)	Q (l/s)	V (m/s)	Q (l/s)	V (m/s)
50.0	392.05	3.55	465.68	3.71	637.52	4.01
45.0	371.93	3.37	441.78	3.52	604.80	3.80
40.0	350.66	3.17	416.51	3.31	570.21	3.59
35.0	328.01	2.97	389.61	3.10	533.38	3.38
30.0	303.68	2.75	360.71	2.87	493.82	3.10
28.0	293.38	2.66	348.48	2.77	477.08	3.00
26.0	282.71	2.56	335.81	2.67	459.72	2.89
24.0	271.62	2.46	322.63	2.57	441.69	2.78
22.0	260.06	2.36	308.90	2.46	422.88	2.66
20.0	247.95	2.24	294.52	2.34	403.20	2.54
18.0	235.23	2.13	279.41	2.22	382.51	2.41
16.0	221.78	2.01	263.43	2.10	360.64	2.27
14.0	207.45	1.88	246.41	1.96	337.34	2.12
12.0	192.06	1.74	228.14	1.82	312.32	1.96
10.0	175.33	1.59	208.26	1.66	285.11	1.79
9.8	173.57	1.57	206.17	1.64	282.24	1.77
9.6	171.79	1.56	204.05	1.62	279.35	1.76
9.4	169.99	1.54	201.91	1.61	276.42	1.74
9.2	168.17	1.52	199.75	1.59	273.47	1.72
9.0	166.33	1.51	197.57	1.57	270.48	1.70
8.8	164.47	1.49	195.36	1.55	267.46	1.68
8.6	162.59	1.47	193.13	1.54	264.40	1.66
8.4	160.69	1.45	190.87	1.52	261.31	1.64
8.2	158.77	1.44	188.59	1.50	258.18	1.62
8.0	156.82	1.42	186.27	1.48	255.01	1.60
7.8	154.85	1.40	183.93	1.46	251.80	1.58
7.6	152.85	1.38	181.58	1.44	248.55	1.56
7.4	150.82	1.37	179.15	1.43	245.26	1.54
7.2	148.77	1.35	176.71	1.41	241.92	1.52
7.0	146.69	1.33	174.24	1.39	238.54	1.50
6.8	144.58	1.31	171.73	1.37	235.11	1.48
6.6	142.44	1.29	169.19	1.35	231.62	1.46
6.4	140.26	1.27	166.61	1.33	228.09	1.43
6.2	138.05	1.25	163.98	1.30	224.50	1.41
6.0	135.81	1.23	161.32	1.28	220.84	1.39
5.8	133.53	1.21	158.61	1.26	217.13	1.37
5.6	131.20	1.19	155.85	1.24	213.36	1.34
5.4	128.84	1.17	153.04	1.22	209.51	1.32
5.2	126.43	1.14	150.18	1.20	205.60	1.29
5.0	123.98	1.12	147.26	1.17	201.60	1.27
4.8	121.47	1.10	144.29	1.15	197.53	1.24
4.6	118.91	1.08	141.25	1.12	193.37	1.22
4.4	116.30	1.05	138.14	1.10	189.12	1.19
4.2	113.63	1.03	134.97	1.07	184.77	1.16
4.0	110.89	1.00	131.72	1.05	180.32	1.13
3.5	103.73	0.94	123.21	0.98	168.67	1.06
3.0	96.03	0.87	114.07	0.91	156.16	0.98
2.5	87.66	0.79	104.13	0.83	142.56	0.90
2.0	78.41	0.71	93.14	0.74	127.51	0.80
1.5	67.90	0.61	80.66	0.64	110.43	0.69

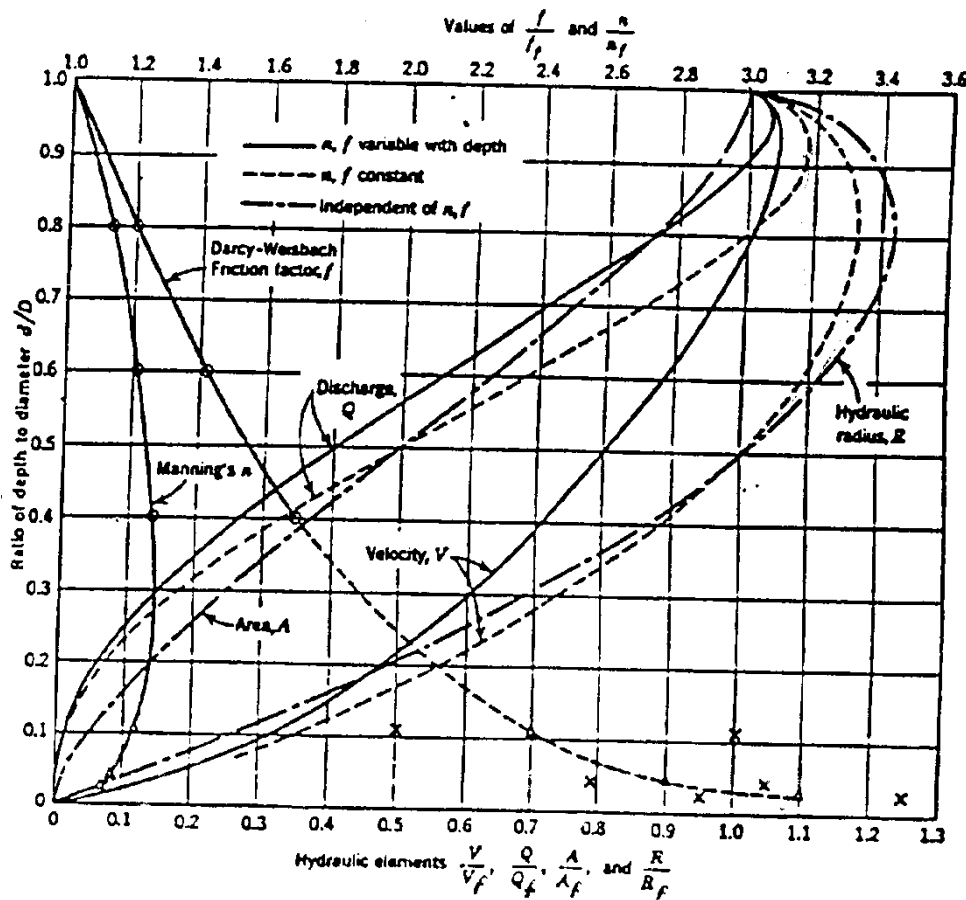
SLOPE %	500mm.		600mm.		700mm.	
	Q (l/s)	V (m/s)	Q (l/s)	V (m/s)	Q (l/s)	V (m/s)
50.0	844.33	4.30	1372.97	4.86	2071.03	5.38
45.0	801.00	4.08	1302.52	4.61	1964.75	5.11
40.0	755.19	3.85	1228.02	4.34	1852.39	4.81
35.0	706.42	3.60	1148.71	4.06	1732.75	4.50
30.0	654.02	3.33	1063.50	3.76	1604.22	4.17
28.0	631.84	3.22	1027.44	3.63	1549.82	4.03
26.0	608.86	3.10	990.07	3.50	1493.45	3.88
24.0	584.97	2.98	951.23	3.36	1434.86	3.73
22.0	560.07	2.85	910.73	3.22	1373.77	3.57
20.0	534.00	2.72	868.35	3.07	1309.84	3.40
18.0	506.60	2.58	823.79	2.91	1242.62	3.23
16.0	477.63	2.43	776.67	2.76	1171.56	3.04
14.0	446.78	2.28	726.51	2.57	1095.89	2.85
12.0	413.64	2.11	672.62	2.38	1014.60	2.64
10.0	377.60	1.92	614.02	2.17	926.20	2.41
9.8	373.80	1.90	607.84	2.15	916.89	2.38
9.6	369.97	1.88	601.61	2.13	907.49	2.36
9.4	366.10	1.86	595.31	2.11	897.98	2.33
9.2	362.18	1.84	588.94	2.08	888.38	2.31
9.0	358.22	1.82	582.51	2.06	878.67	2.28
8.8	354.22	1.80	576.00	2.04	868.85	2.26
8.6	350.17	1.78	569.42	2.01	858.92	2.23
8.4	346.07	1.76	562.76	1.99	848.88	2.21
8.2	341.93	1.74	556.02	1.97	838.71	2.18
8.0	337.73	1.72	549.19	1.94	828.42	2.15
7.8	333.49	1.70	542.29	1.92	818.00	2.13
7.6	329.18	1.68	535.29	1.89	807.44	2.10
7.4	324.82	1.65	528.20	1.87	796.75	2.07
7.2	320.40	1.63	521.01	1.84	785.91	2.04
7.0	315.92	1.61	513.72	1.82	774.92	2.01
6.8	311.38	1.59	506.33	1.79	763.77	1.98
6.6	306.76	1.56	498.85	1.76	752.45	1.96
6.4	302.08	1.54	491.21	1.74	740.96	1.93
6.2	297.32	1.51	483.48	1.71	729.29	1.90
6.0	292.49	1.49	475.62	1.68	717.43	1.86
5.8	287.57	1.46	467.62	1.65	705.37	1.83
5.6	282.57	1.44	459.49	1.63	693.11	1.80
5.4	277.49	1.41	451.21	1.60	680.62	1.77
5.2	272.29	1.39	442.78	1.57	667.89	1.74
5.0	267.00	1.36	434.18	1.54	654.93	1.70
4.8	261.61	1.33	425.41	1.50	641.69	1.67
4.6	256.10	1.30	416.45	1.47	628.18	1.63
4.4	250.47	1.28	407.29	1.44	614.38	1.60
4.2	244.71	1.25	397.93	1.41	600.25	1.56
4.0	238.82	1.22	388.34	1.37	585.78	1.52
3.5	223.39	1.14	363.26	1.28	547.95	1.42
3.0	206.82	1.05	336.31	1.19	507.31	1.32
2.5	188.80	0.96	307.01	1.09	463.11	1.20
2.0	168.87	0.86	274.60	0.97	414.22	1.08
1.5	146.25	0.74	237.81	0.84	358.73	0.93

SLOPE %	800 mm.		900 mm.		1000 mm.	
	Q (l/s)	V (m/s)	Q (l/s)	V (m/s)	Q (l/s)	V (m/s)
50.0	2956.87	5.88	4047.98	6.36	5361.15	6.83
45.0	2805.13	5.58	3840.25	6.04	5086.04	6.48
40.0	2644.70	5.26	3620.62	5.69	4795.16	6.11
35.0	2473.89	4.92	3386.78	5.32	4485.46	5.71
30.0	2290.39	4.56	3135.56	4.93	4152.75	5.29
28.0	2212.72	4.40	3029.24	4.76	4011.94	5.11
26.0	2132.23	4.24	2919.05	4.59	3866.00	4.92
24.0	2048.59	4.08	2804.53	4.41	3714.33	4.73
22.0	1961.37	3.90	2685.14	4.22	3556.20	4.53
20.0	1870.09	3.72	2560.18	4.02	3390.71	4.32
18.0	1774.13	3.53	2428.80	3.82	3216.71	4.10
16.0	1672.66	3.33	2289.90	3.60	3032.74	3.86
14.0	1564.64	3.11	2142.00	3.37	2836.87	3.61
12.0	1448.57	2.88	1983.11	3.12	2626.43	3.34
10.0	1322.36	2.63	1810.32	2.85	2397.60	3.05
9.8	1309.07	2.60	1792.13	2.82	2373.50	3.02
9.6	1295.64	2.58	1773.75	2.79	2349.16	2.99
9.4	1282.08	2.55	1755.18	2.76	2324.56	2.96
9.2	1268.36	2.52	1736.40	2.73	2299.70	2.93
9.0	1254.50	2.50	1717.43	2.70	2274.56	2.90
8.8	1240.48	2.47	1698.24	2.67	2249.15	2.86
8.6	1226.31	2.44	1678.83	2.64	2223.44	2.83
8.4	1211.96	2.41	1659.19	2.61	2197.44	2.80
8.2	1197.45	2.38	1639.32	2.58	2171.12	2.76
8.0	1182.76	2.35	1619.21	2.55	2144.48	2.73
7.8	1167.88	2.32	1598.84	2.51	2117.50	2.70
7.6	1152.81	2.29	1578.21	2.48	2090.18	2.66
7.4	1137.54	2.26	1557.30	2.45	2062.50	2.63
7.2	1122.06	2.23	1536.11	2.41	2034.43	2.59
7.0	1106.37	2.20	1514.63	2.38	2005.98	2.55
6.8	1090.45	2.17	1492.84	2.35	1977.11	2.52
6.6	1074.29	2.14	1470.72	2.31	1947.82	2.48
6.4	1057.89	2.10	1448.26	2.28	1918.08	2.44
6.2	1041.23	2.07	1425.46	2.24	1887.88	2.40
6.0	1024.30	2.04	1402.28	2.20	1857.18	2.36
5.8	1007.08	2.00	1378.71	2.17	1825.96	2.32
5.6	989.57	1.97	1354.73	2.13	1794.21	2.28
5.4	971.74	1.93	1330.32	2.09	1761.88	2.24
5.2	953.57	1.90	1305.45	2.05	1728.94	2.20
5.0	935.05	1.86	1280.10	2.01	1695.37	2.16
4.8	916.16	1.82	1254.24	1.97	1661.11	2.11
4.6	896.87	1.78	1227.83	1.93	1626.14	2.07
4.4	877.16	1.75	1200.84	1.89	1590.40	2.02
4.2	856.99	1.70	1173.23	1.84	1553.83	1.98
4.0	836.34	1.65	1144.96	1.80	1516.39	1.93
3.5	782.33	1.56	1071.01	1.68	1418.45	1.81
3.0	724.29	1.44	991.57	1.56	1313.23	1.67
2.5	661.19	1.32	905.18	1.42	1198.82	1.53
2.0	591.39	1.18	809.62	1.27	1072.26	1.37
1.5	512.16	1.02	701.16	1.10	928.51	1.18

SLOPE %	1100 mm.		1200 mm.		1300 mm.	
	Q (l/s)	V (m/s)	Q (l/s)	V (m/s)	Q (l/s)	V (m/s)
50.0	6912.56	7.27	8717.83	7.71	10792.13	8.13
45.0	6557.83	6.90	8270.46	7.31	10238.31	7.71
40.0	6182.78	6.51	7797.46	6.89	9652.77	7.27
35.0	5783.46	6.09	7293.86	6.45	9029.34	6.80
30.0	5354.44	5.63	6752.83	5.97	8359.55	6.30
28.0	5172.88	5.44	6523.85	5.77	8076.09	6.08
26.0	4984.72	5.25	6286.54	5.56	7782.32	5.86
24.0	4789.16	5.04	6039.91	5.34	7477.01	5.63
22.0	4585.27	4.82	5792.78	5.11	7158.69	5.39
20.0	4371.88	4.60	5513.66	4.88	6825.54	5.14
18.0	4147.53	4.36	5230.72	4.62	6475.28	4.86
16.0	3910.33	4.11	4931.57	4.36	6104.95	4.60
14.0	3657.78	3.85	4613.07	4.08	5710.66	4.30
12.0	3386.45	3.56	4270.87	3.78	5287.04	3.98
10.0	3091.39	3.25	3898.76	3.45	4826.39	3.64
9.8	3060.32	3.22	3859.57	3.41	4777.88	3.60
9.6	3028.93	3.19	3819.99	3.38	4728.87	3.56
9.4	2997.21	3.15	3779.99	3.34	4679.36	3.53
9.2	2965.16	3.12	3739.56	3.31	4629.31	3.49
9.0	2932.75	3.09	3698.69	3.27	4578.71	3.45
8.8	2899.98	3.05	3657.36	3.23	4527.55	3.41
8.6	2866.84	3.02	3615.56	3.20	4475.81	3.37
8.4	2833.31	2.98	3573.27	3.16	4423.46	3.33
8.2	2799.37	2.95	3530.48	3.12	4370.48	3.29
8.0	2765.02	2.91	3487.16	3.08	4316.85	3.25
7.8	2730.24	2.87	3443.30	3.04	4262.55	3.21
7.6	2695.01	2.84	3398.86	3.01	4207.55	3.17
7.4	2659.31	2.80	3353.85	2.97	4151.82	3.13
7.2	2623.13	2.76	3308.21	2.93	4095.33	3.03
7.0	2586.44	2.72	3261.94	2.88	4038.05	3.04
6.8	2549.22	2.68	3215.01	2.84	3979.94	3.00
6.6	2511.46	2.64	3167.37	2.80	3920.98	2.95
6.4	2473.11	2.60	3119.02	2.76	3861.11	2.91
6.2	2434.16	2.56	3069.90	2.71	3800.30	2.86
6.0	2394.58	2.52	3019.98	2.67	3738.50	2.82
5.8	2354.33	2.48	2969.22	2.63	3675.67	2.77
5.6	2313.38	2.43	2917.58	2.58	3611.74	2.72
5.4	2271.70	2.39	2865.00	2.53	3546.66	2.67
5.2	2229.23	2.35	2811.45	2.49	3480.36	2.62
5.0	2185.94	2.30	2756.85	2.44	3412.77	2.57
4.8	2141.78	2.25	2701.15	2.39	3343.82	2.52
4.6	2096.68	2.21	2644.28	2.34	3273.41	2.47
4.4	2050.60	2.16	2586.16	2.29	3201.46	2.41
4.2	2003.45	2.11	2526.70	2.23	3127.86	2.36
4.0	1955.17	2.06	2465.81	2.18	3052.48	2.30
3.5	1828.89	1.92	2306.56	2.04	2855.33	2.15
3.0	1693.22	1.78	2135.46	1.89	2643.52	1.99
2.5	1545.69	1.63	1949.41	1.72	2413.19	1.82
2.0	1382.51	1.45	1743.61	1.54	2158.43	1.63
1.5	1197.29	1.26	1510.03	1.34	1869.25	1.41

SLOPE %	1400 mm.		1500 mm.		1600 mm.	
	Q (l/s)	V (m/s)	Q (l/s)	V (m/s)	Q (l/s)	V (m/s)
50.0	13150.22	8.54	15806.47	8.94	18774.92	9.34
45.0	12475.39	8.10	14995.33	8.49	17811.46	8.86
40.0	11761.91	7.64	14137.74	8.00	16792.80	8.35
35.0	11002.26	7.15	13224.64	7.48	15708.23	7.81
30.0	10186.16	6.62	12243.64	6.93	14543.05	7.23
28.0	9840.76	6.39	11828.48	6.69	14049.92	6.99
26.0	9482.80	6.16	11398.21	6.45	13538.85	6.73
24.0	9110.78	5.92	10951.04	6.20	13007.71	6.47
22.0	8722.91	5.67	10484.83	5.93	12453.93	6.19
20.0	8316.97	5.40	9996.89	5.66	11874.36	5.91
18.0	7890.17	5.13	9483.88	5.37	11265.01	5.60
16.0	7438.93	4.83	8941.49	5.06	10620.76	5.28
14.0	6958.48	4.52	8364.00	4.73	9934.81	4.94
12.0	6442.31	4.18	7743.56	4.38	9197.86	4.57
10.0	5881.00	3.82	7068.87	4.00	8396.46	4.18
9.8	5821.89	3.78	6997.82	3.96	8312.07	4.13
9.6	5762.18	3.74	6926.05	3.92	8226.82	4.09
9.4	5701.84	3.70	6853.52	3.88	8140.67	4.05
9.2	5640.86	3.66	6780.22	3.84	8053.61	4.01
9.0	5579.21	3.62	6706.12	3.79	7965.59	3.96
8.8	5516.97	3.58	6631.19	3.75	7876.59	3.92
8.6	5453.82	3.54	6555.40	3.71	7786.57	3.87
8.4	5390.03	3.50	6478.72	3.67	7695.49	3.83
8.2	5325.48	3.46	6401.13	3.62	7603.33	3.78
8.0	5260.13	3.42	6322.59	3.58	7510.03	3.74
7.8	5193.97	3.37	6243.06	3.53	7415.57	3.69
7.6	5126.94	3.33	6162.50	3.49	7319.88	3.64
7.4	5059.04	3.29	6080.87	3.44	7222.92	3.59
7.2	4990.20	3.24	5998.13	3.39	7124.65	3.54
7.0	4920.41	3.20	5914.24	3.35	7025.00	3.49
6.8	4849.61	3.15	5829.14	3.30	6923.92	3.44
6.6	4777.76	3.10	5742.78	3.25	6821.34	3.39
6.4	4704.81	3.06	5625.09	3.20	6717.19	3.34
6.2	4630.72	3.01	5566.03	3.15	6611.40	3.29
6.0	4555.42	2.96	5475.52	3.10	6503.89	3.23
5.8	4478.85	2.91	5383.49	3.05	6394.58	3.18
5.6	4400.95	2.86	5289.86	2.99	6283.36	3.13
5.4	4321.65	2.81	5194.54	2.94	6170.14	3.07
5.2	4240.87	2.75	5097.43	2.88	6054.80	3.01
5.0	4158.52	2.70	4992.44	2.83	5937.23	2.95
4.8	4074.50	2.65	4897.46	2.77	5817.27	2.89
4.6	3988.71	2.59	4794.34	2.71	5694.79	2.83
4.4	3901.04	2.53	4688.96	2.65	5569.62	2.77
4.2	3811.35	2.48	4581.15	2.59	5441.57	2.71
4.0	3719.50	2.42	4470.74	2.53	5310.43	2.64
3.5	3479.28	2.26	4182.00	2.37	4967.46	2.47
3.0	3221.19	2.09	3871.78	2.19	4598.99	2.29
2.5	2940.54	1.91	3534.43	2.00	4198.29	2.09
2.0	2630.12	1.71	3161.29	1.79	3755.09	1.87
1.5	2277.77	1.48	2737.76	1.55	3252.03	1.62

SLOPE %	1800 mm.		2000 mm.		mm.	
	Q (l/s)	V (m/s)	Q (l/s)	V (m/s)	Q (l/s)	V (m/s)
50.0	25703.06	10.10	34041.20	10.84		
45.0	24384.07	9.58	32294.32	10.28		
40.0	22989.52	9.03	30447.37	9.69		
35.0	21504.73	8.45	28480.91	9.07		
30.0	19909.51	7.82	26368.20	8.39		
28.0	19234.40	7.56	25474.10	8.11		
26.0	18534.74	7.28	24542.46	7.81		
24.0	17807.60	7.00	23584.44	7.51		
22.0	17049.48	6.70	22580.38	7.19		
20.0	16256.04	6.39	21529.55	6.85		
18.0	15421.84	6.06	20424.72	6.50		
16.0	14539.85	5.71	19256.61	6.13		
14.0	13600.78	5.34	18012.91	5.73		
12.0	12591.88	4.95	16676.71	5.31		
10.0	11494.76	4.52	15223.69	4.85		
9.8	11379.23	4.47	15070.68	4.80		
9.6	11262.52	4.43	14916.11	4.75		
9.4	11144.58	4.38	14759.91	4.70		
9.2	11025.39	4.33	14602.05	4.65		
9.0	10904.89	4.29	14442.46	4.60		
8.8	10783.04	4.24	14281.08	4.55		
8.6	10659.80	4.19	14117.87	4.49		
8.4	10535.12	4.14	13952.74	4.44		
8.2	10408.95	4.09	12785.64	4.39		
8.0	10281.23	4.04	13616.48	4.33		
7.8	10151.90	3.99	13445.20	4.28		
7.6	10020.90	3.94	13271.70	4.22		
7.4	9888.17	3.89	13095.91	4.17		
7.2	9753.63	3.83	12917.73	4.11		
7.0	9617.21	3.78	12737.05	4.05		
6.8	9478.82	3.72	12553.77	4.00		
6.6	9338.39	3.67	12367.78	3.94		
6.4	9195.81	3.61	12178.95	3.88		
6.2	9050.98	3.56	11987.14	3.82		
6.0	8903.80	3.50	11792.22	3.75		
5.8	8754.15	3.44	11594.01	3.69		
5.6	8601.89	3.38	11392.36	3.63		
5.4	8446.89	3.32	11187.08	3.56		
5.2	8288.99	3.26	10977.96	3.49		
5.0	8128.02	3.19	10764.77	3.43		
4.8	7963.80	3.13	10547.28	3.36		
4.6	7796.13	3.06	10325.21	3.29		
4.4	7624.76	3.00	10098.25	3.21		
4.2	7449.46	2.93	9866.08	3.14		
4.0	7269.92	2.86	9628.31	3.06		
3.5	6800.39	2.67	9006.45	2.87		
3.0	6295.94	2.47	8338.36	2.65		
2.5	5747.38	2.26	7611.84	2.42		
2.0	5140.61	2.02	6808.24	2.17		
1.5	4451.90	1.75	5896.11	1.88		



للاقترادات والشكوى قم بمسح الصورة (QR)



المراجع

- تم الإعداد بمشاركة المشروع الألماني GIZ
- و مشاركة المسادة :-

شركة الصرف الصحي بالقاهرة الكبرى
 شركة الصرف الصحي بالقاهرة الكبرى
 شركة مياه الشرب والصرف الصحي بالجيزة
 شركة مياه الشرب والصرف الصحي بالدقهلية
 شركة الصرف الصحي بالاسكندرية
 شركة مياه الشرب والصرف الصحي بالجيزة
 شركة الصرف الصحي بالاسكندرية
 شركة مياه الشرب والصرف الصحي بالجيزة
 شركة الصرف الصحي بالقاهرة الكبرى
 شركة مياه الشرب والصرف الصحي بالشرقية
 شركة الصرف الصحي بالقاهرة الكبرى
 شركة الصرف الصحي بالقاهرة الكبرى
 شركة مياه الشرب والصرف الصحي بالدقهلية
 شركة الصرف الصحي بالقاهرة الكبرى
 شركة الصرف الصحي بالقاهرة الكبرى
 شركة مياه الشرب والصرف الصحي بالقليوبية
 شركة الصرف الصحي بالاسكندرية
 GIZ المشروع الألماني لإدارة مياه الشرب والصرف الصحي
 الشركة القابضة لمياه الشرب والصرف الصحي

- ▷ مهندس / اشرف علي عبد المحسن
- ▷ مهندس / طارق ابراهيم عبد العزيز
- ▷ مهندس / مصطفى محمد محمد
- ▷ مهندس / محمد محمود الدبيب
- ▷ دكتور كيمائي / حسام عبد الوكيل الشربيني
- ▷ مهندس / رمزي حلمي ابراهيم
- ▷ مهندس / اشرف حفي حفي محمود
- ▷ مهندس / مصطفى احمد حافظ
- ▷ مهندس / محمد حلمي عبد العال
- ▷ مهندس / ايمان قاسم عبد الحميد
- ▷ مهندس / صلاح ابراهيم سيد
- ▷ مهندس / سعيد صلاح الدين حسن
- ▷ مهندس / صلاح الدين عبد الله عبد الله
- ▷ مهندس / عصام عبد العزيز غنيم
- ▷ مهندس / مجدي علي عبد الهادي
- ▷ مهندس / عبد الحليم مهدي عبد الحليم
- ▷ مهندس / سامي يوسف قديل
- ▷ مهندس / عادل محمود ابو طالب
- ▷ مهندس / مصطفى محمد فراج